



Uso de UiO-66(Zr) em reação de hidrogenação/hidroformilação de CO₂, C₂H₄ e H₂ para produção de 1-propanol

Paola C. Oliveira^{1*}, Leon F. Feitosa², Herich H. L. B. Lima¹, Marco A. Fraga^{2,3}, Dalmo Mandelli¹

¹Universidade Federal do ABC, Centro de Ciências Naturais e Humanas, Av. dos Estados, 5001, Bangu – Santo André – São Paulo, CEP 09280-560

² Instituto Nacional de Tecnologia - INT, Laboratório de Catálise, Av. Venezuela, 82, Saúde - Rio de Janeiro, CEP 20081-312 ³Pontifícia Universidade Católica do Rio de Janeiro, Departamento de Engenharia Química e de Materiais, R. Marquês de São Vicente, 225, Gávea - Rio de Janeiro, CEP 22451-900

Resumo/Abstract

RESUMO – A crescente emissão de dióxido de carbono (CO₂), impulsionada principalmente pela queima de combustíveis fósseis e atividades industriais, é um dos principais fatores responsáveis pelo aquecimento global e pelas mudanças climáticas. Para mitigar os efeitos do excesso de CO₂, além de reduzir as emissões, estratégias de captura e aproveitamento do gás têm ganhado destaque. Entre essas estratégias, a conversão do CO₂ em produtos de maior valor agregado, como o 1-propanol, surge como uma solução promissora. Essa abordagem não apenas reduz a concentração de CO₂ na atmosfera, mas também gera produtos úteis para diversos setores, agregando valor econômico e incentivando o desenvolvimento de tecnologias sustentáveis. Pensando nisso, o uso de MOFs, em particular a UiO-66, surge como uma excelente alternativa devido a suas propriedades físico-químicas que permitem a obtenção de 1-propanol sem o uso de metais nobres, preservando a estabilidade morfológica, cristalina e química do material em diferentes condições de obtenção.

Palavras-chave: CO₂, 1-propanol, UiO-66(Zr), MOF

ABSTRACT – The increasing emission of carbon dioxide (CO₂), primarily driven by the burning of fossil fuels and industrial activities, is one of the main factors responsible for global warming and climate change. To mitigate the effects of excess CO₂, in addition to reducing emissions, strategies for capturing and utilizing the gas have gained prominence. Among these strategies, the conversion of CO₂ into higher value-added products, such as 1-propanol, has emerged as a promising solution. This approach not only reduces the concentration of CO₂ in the atmosphere but also generates useful products for various sectors, adding economic value and promoting the development of sustainable technologies. In this context, the use of metal-organic frameworks (MOFs), particularly UiO-66, emerges as an excellent alternative due to its physicochemical properties that enable the production of 1-propanol without the use of noble metals, while preserving the material's morphological, crystalline, and chemical stability under different production conditions.

Keywords: CO₂, 1-propanol, UiO-66(Zr), MOF.

Introdução

Nas últimas quatro décadas, as emissões de CO₂ advindas de processos industriais, combustão de combustíveis fósseis e desmatamento contribuíram para mais de 70% do total de emissões de gases de efeito estufa, incluindo o CO₂. Em consequência, foi observado o aumento da concentração atmosférica desse gás fazendo-a chegar a 410 ppm, um ponto máximo histórico em 2019, o que tem influência direta no equilíbrio ecológico da Terra. Dessa forma, é imprescindível desenvolver melhores tecnologias para captura, armazenamento e utilização de CO₂ (6).

Uma das maneiras é desenvolver catalisadores e processos para obtenção de produtos com um ciclo de vida maior, como resinas, corantes e polímeros, que podem ser produzidos pela reação do CO₂ com etileno ou propileno na presença de hidrogênio (7).

Hidrocarbonetos e compostos oxigenados C_{2+} têm densidades energéticas e valores econômicos mais altos do que os C_1 . Dessa forma, o desenvolvimento de processos que levem a esses produtos torna-se interessante do ponto de vista econômico e estratégico, o que exige a construção de catalisadores específicos para a produção de C_{2+} (8).

Ao longo dos últimos anos catalisadores de Au suportados em SiO₂ e TiO₂ foram utilizados com o objetivo de produzir 1-propanol a partir de CO₂, C₂H₄ e H₂, produzindo até 7 mmol g⁻¹ h⁻¹ do álcool com catalisador de Au/TiO₂, e sua produção é importante do ponto de vista econômico visto que é utilizado principalmente como solvente em produtos farmacêuticos, desinfetantes, cosméticos e tintas, bem como intermediário na síntese de outros compostos. No entanto, a via reacional já estudada oferece como desvantagem principal a formação majoritária de etano, além do alto custo de síntese de catalisadores dado o uso de metal nobre. Ademais, partículas desses metais



tendem a aglomeração, o que pode inviabilizar o tempo de vida e utilização desses catalisadores e o processo catalítico em si (2,12).

Neste sentido, Redes Metalorgânicas (*Metal Organic Frameworks*, MOFs) baseadas em zircônio (Zr) atraem atenção devido a sua resistência térmica, química e estrutural em comparação com MOFs que apresentam outros tipos de nodo metálico. Dentre elas, destaca-se a UiO-66, uma MOF estável que contém Zr nos nodos e 1,4-benzenodicarboxilatos como ligantes orgânicos. Esta MOF apresenta capacidade de adsorção de gases, como o CO₂, que está diretamente ligada à disponibilidade de sítios insaturados de Zr na estrutura, o pode ser controlado através da inserção de defeitos de ligantes no processo de síntese (9).

A quantidade de defeitos na UiO-66 pode ser controlada de diversas maneiras, dentre elas destaca-se o uso de diferentes ácidos como moduladores (direcionadores de crescimento de partículas) durante a síntese. O pKa deste ácido leva à formação de defeitos por ausência de ligantes e, consequentemente, à mudanças na capacidade de adsorção e atividade catalítica, ou seja, o uso de ácidos com menores valores de pKa, a exemplo do HCl, leva a uma maior concentração de defeitos e maior disponibilidade de sítios de Zr (10). Nesse sentido, o presente trabalho visa explorar as propriedades de catalisadores à base de UiO-66 (Zr), isento de qualquer tipo de metal nobre, para promover as reações sequenciais de hidrogenação/hidroformilação CO₂, eteno e hidrogênio para obtenção do 1-propanol.

Experimental

Síntese UiO-66 (Zr)

A MOF UiO-66 foi preparada seguindo metodologia consolidada em literatura à base de ZrCl₄, ácido tereftálico (H₂BDC) e dimetilformamida (DMF) utilizando, inicialmente, HCl como modulador de crescimento e formação de cristais, a fim de gerar defeitos de ligantes na estrutura (11).

Caracterização físico-química pré e pós-reação

Uma vez preparado e utilizado em reação, o catalisador das reações onde foram observadas a produção de 1-propanol foram caracterizados quanto à sua cristalinidade por difração de raios X em Difratômetro D8 Focus Bruker AXS. As propriedades texturais foram determinadas por fisissorção de N₂ em Autosorb-1 QuantaChrome Instruments. A estabilidade térmica foi avaliada por análise termogravimétrica entre 20 e 800 °C em SDT Q600 TA Instruments sob atmosfera inerte com uma rampa de 20 °C min⁻¹. A estabilidade estrutural dos catalisadores foi avaliada por espectroscopia na região do infravermelho em modo de reflectância total atenuada (ATR), utilizando 128 varreduras e a estabilidade morfológica e composição



química via microscopia eletrônica de transmissão hifenada à espectroscopia de energia dispersiva (MET-EDS).

Testes catalíticos

Os testes catalíticos foram realizados em um reator em fluxo contínuo. Para avaliar os efeitos dos parâmetros de operação nas respostas de interesse, foi utilizado um delineamento fatorial fracionado (DFF) de 4 variáveis. As variáveis analisadas e seus respectivos limites estudados são apresentados na Tabela 1. As respostas avaliadas foram: i) conversão de CO₂, ii) produtividade de etano, iii) produtividade de oxigenados (1-propanol), iv) tempo de vida do sítio.

Tabela 1. Variáveis para o Delineamento Fatorial Fracionado (DFF)

Variável	-1	0	+1
Pressão (bar)	8	14	20
Temperatura (°C)	160	170	180
Massa de cat. (mg)	300	375	450
Vazão (mL/min)	10	30	50

Resultados e Discussão

As propriedades textuais da UiO-66 sintetizada são apresentadas na Tabela 2.

Tabela 2. Propriedades texturais da MOF UiO-66 (Zr)

	$S_{BET} \\ (m^2/g)^a$	D (Å)	V _{TOTAL} (cm ³ /g)	$V_{Microporos} \\ (cm^3/g)^b$
UiO-66	1277	9,43	0,54	0,49

a. Calculada pelo método BET; b. Calculado pelo método Dubinin-Radushkevich.

Os valores apresentados estão condizentes com aqueles encontrados em literatura e mostram a eficiência do processo de síntese quanto às propriedades texturais (11).

Os difratogramas de raios-X (DRX, Figura 1) permitiram observar, através de comparação com o padrão cristalográfico COD ID 413633 da base de dados CDCC, que se trata da estrutura da MOF desejada, exibindo ângulos de reflexão característicos de UiO-66 em 7,38, 8,52, 12,06, 14,15 e 14,78 correspondentes aos planos (111), (200), (220), (311) e (222).



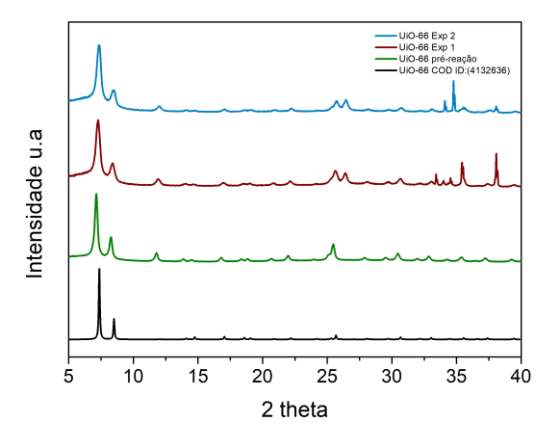


Figura 1. Difratogramas de raios X pré-reação, pós-reação 1 (160°C, 450 mg), pós-reação 2 (180°C, 300 mg).

A partir dos espectros de infravermelho (FTIR) foi possível observar que a banda em torno de 550 cm⁻¹ é devido às vibrações do estiramento da ligação Zr-(OC) do Zr₆O₄(OH)₄(CO₂)₁₂. Também foram observadas bandas dos modos vibracionais de O-H, C-H e Zr-O. Entre 710 e 810 cm⁻¹ foram registradas as vibrações referentes às ligações C-H, estiramento C=C e O-C-O do ácido tereftálico. A pequena banda em aproximadamente 1500 cm⁻¹ na amostra pode estar associada à vibração da ligação C=C do anel benzênico. Aquelas em 1575 e 1390 cm⁻¹ são devido ao estiramento simétrico e assimétrico, respectivamente, da ligação O-C-O do ácido tereftálico usado como linker. Já a banda em 1015 cm⁻¹ pode ser atribuída à coordenação do ácido tereftálico com o Zr, como pode ser visto nas Figuras 2A e 2B.



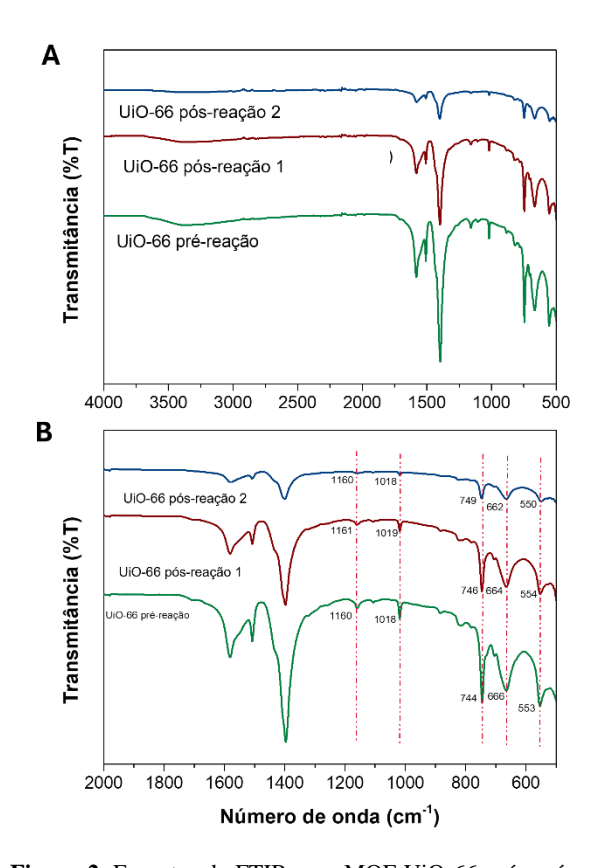


Figura 2. Espectro de FTIR para MOF UiO-66 pré e pós-reação (1: 160°C, 450 mg; 2: 180°C, 300mqg). **A.** entre 500 cm⁻¹ e 4000 cm⁻¹. **B.** entre 500 cm⁻¹ e 2000 cm⁻¹

A microscopia eletrônica de transmissão hifenada à espectroscopia de energia dispersiva (MET-EDS) mostrou que o uso do HCl como modulador leva à formação de cristais menos uniformes e com mais defeitos, devido a aceleração dos processos de nucleação e crescimento de partículas.

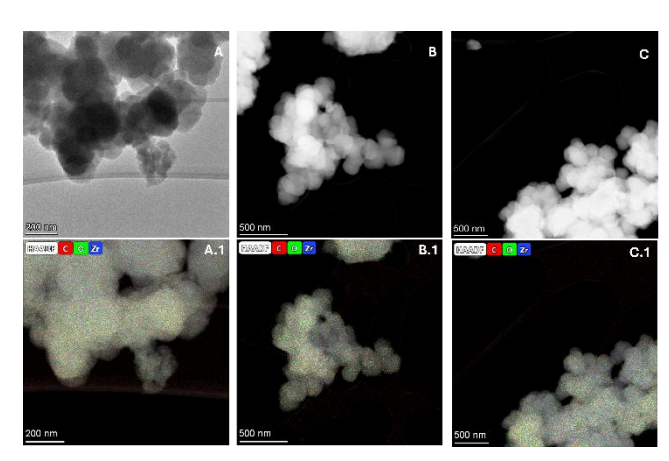


Figura 3. Imagens de MET de MOF UiO-66 (Zr). A e A.1) préreação, B e B.1) pós-reação 1 (160° C, 450 mg), C e C.1) pós-reação 2 (180° C, 300 mg).



Por fim, a análise termogravimétrica permitiu concluir que a UiO-66 é estável nas condições testadas.

Os resultados dos testes catalíticos (Figura 4) nas diferentes condições experimentais destacadas na Tabela 1 mostraram que em duas condições de massa de catalisador, pressão, temperatura e vazão de gás são formadas 1-propanol com desempenho comparável a catalisadores baseados em Au (7 mmol/g_{cat}h) reportados até então na literatura (2,12). Porém, deve-se destacar que neste presente trabalho o catalisador não possui metal nobre em sua composição.

O desempenho da UiO-66 (Zr) indica, de forma inédita, que os sítios de Zr presentes na MOF são capazes de converter CO₂, C₂H₄ e H₂ em 1-propanol, minimizando a produção de etano que foi de 0,18 mmol/g_{cat}h a 180°C com 300 mg de catalisador, conversão de CO₂ em torno de 5,4%, no entanto com maior produção de 1-propanol em torno de 4,4 mmol/g_{cat}h e 0,45 mmol/g_{cat}h a 160°C e 450 mg ce catalisador, com pico de conversão de CO₂ em 23,5% após 90 min de reação e formação de 1-propanol de 2,5 mmol/g_{cat}h (Figura b) e (Figura a). Estes resultados mostram que, a estrutura da UiO-66 contribui para sua eficiência na conversão de CO₂ dada sua adsorção dos sítios insaturados de Zr gerados durante a síntese.

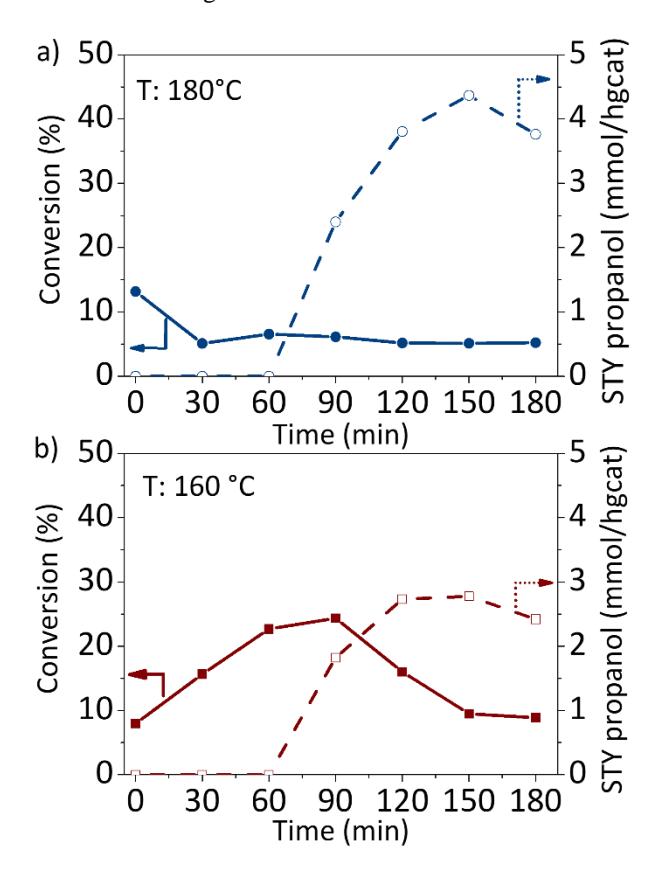


Figura 4. Conversão de CO₂ e produtividade de 1-propanol utilizando UiO-66 como catalisador a 10 mL/min e 20 bar. a) pósreação (300 mg), b) pós-reação (450 mg).



As caracterizações foram repetidas após as reações em que se observou a formação de 1-propanol e, foi possível observar que os padrões de cristalográficos, morfológicos, distribuição de componentes (Zr, C e O) e composição química permanecem estáveis após a utilização em teste catalítico, como mostram as Figuras 1, 2 e 3, explicitando a estabilidade da UiO-66.

Neste momento, estão em andamento testes com as diferentes MOFs contendo distintos níveis de defeitos estruturais, com o objetivo de investigar a correlação entre essas características e a atividade catalítica. Embora os resultados ainda estejam sendo obtidos, esta etapa visa compreender como a natureza e a densidade dos defeitos influenciam o desempenho dos materiais em reações-alvo.

Conclusões

Os resultados obtidos permitiram concluir que a UiO-66 (Zr) é um catalisador promissor para a obtenção de oxigenados C₃ a partir de CO₂, C₂H₄ e H₂ em uma reação tandem. Além disso, foram alcançados resultados comparáveis àqueles obtidos por outros autores utilizando catalisadores com metal nobre. E isso, por si só, mostra o potencial das MOFs como catalisadores na produção de 1-propanol. Complementarmente, as caracterizações sugerem que a UiO-66 possui estabilidade química, cristalina e morfológica mesmo quando exposta a diferentes condições reacionais.

Agradecimentos

À FAPESP (Processos 2023/01634-5 e 2023/13334-6), à FINEP (Projeto FINEP/OXIGN), ao CNPq, à CAPES, ao PPGQ/CTQ-UFABC, à Central Multiusuário da Universidade Federal do ABC (CEM-UFABC) e ao Instituto Nacional de Tecnologia (INT)

Referências

- 1. Chang, K. et al. ACS Catalysis, 2020, v. 10, n. 1, 613–631
- 2. Heyl, D. et al. ChemSusChem, 2019, v. 12, 651–660.
- 3. Rafiee, A. et al. *Journal of Environmental Chemical Engineering*, **2018**, v. 6, n. 5, 5771–5794.
- 4. Xie, Z.; Gomez, E.; Chen, J. G. *AIChE Journal*, **2021**, v. 67, n. 5, 1–11.
- 5. Januário, E. R.; Nogueira, A. F.; Pastore, H. O. *Journal of Brazilian of Chemical Society*, **2018**, v. 29, n. 7, 1527–1537.
- Gambo, Y. et al. Applied Catalysis A: General, 2021, v. 623
- 7. Ahlers, S. J. et al. *ChemSusChem*, **2014**,1–10.
- 8. Ye, R. P. et al. *Nature Communications*, **2019**, v. 10, n. 1.
- RUNGTAWEEVORANIT, B. et al. *Nano Lett.*, 2016, v. 16(12), 7645–764.





- 10. Huang, J. et al. *ACS Applied Materials and Interfaces*, **2019**, v. 11, n. 36, 33263–33272.
- 11. Katz, M. J. et al. *Chemical Communications*, **2013**, 49, 82, 9449–9451.
- 12. AHLERS, S. J. et al.. *ChemSusChem*, **2014**, 1–10,. **ChemSusChem**, v. 12, p. 651–660, 2019.